

**ТЕРМИЧЕСКАЯ ЭНЕРГИЯ  
ИОНИЗАЦИИ МЕЛКИХ ДОНОРОВ  
И АКЦЕПТОРОВ В КРИСТАЛЛАХ CdTe**

Агринская Н. В.

Как было показано в работе [1], в соединениях  $A^{II}B^{VI}$  энергия ионизации мелких доноров  $\epsilon$ , определенная из температурной зависимости постоянной Холла  $R$ , зависит от концентрации донорной примеси и степени компенсации ( $N_D$ ,  $K = N_A/N_D$ ). Экспериментально наблюдаемая зависимость  $\epsilon(N)$  в большинстве случаев описывалась эмпирическим выражением, предложенным в работе [2],

$$\epsilon = \epsilon_0 - \alpha (N_D^+)^{1/3}, \quad (1)$$

где  $\epsilon_0$  — энергия ионизации изолированного донора (экспериментально величина  $\epsilon_0$  находится из оптических измерений),  $N_D^+$  — концентрация заряженных доноров (в компенсированном полупроводнике при низких температурах  $N_D^+$  порядка  $N_A$  — концентрации акцепторов). При выводе выражения (1) предполагалось, что понижение энергии ионизации связано с кулоновским взаимодействием противоположно заряженных дефектов, поэтому  $\alpha \approx e^2/\kappa$ , где  $\kappa$  — диэлектрическая проницаемость. Аналогичная зависимость  $\epsilon(N^{1/3})$  была получена также в работе [3], где различие между термической и оптической энергиями ионизации связывалось с релаксацией распределения электронов внутри примесной зоны при ионизации электрона, при этом

$$\alpha = \Gamma \left( \frac{2}{3} \right) \frac{e^2}{4\pi\kappa} \left( \frac{4\pi}{3} \right)^{1/3} \frac{e^2}{\kappa}.$$

Однако большое число экспериментов, приведенных в [1] для CdS, ZnSe, CdSe, CdTe и в [3] для GaP, GaAs, указывает на то, что зависимость  $\epsilon(N^{1/3})$  часто приводит к различным величинам  $\epsilon_0$  для одного и того же типа доноров, величина  $\alpha$  больше теоретической и зависит от  $K$ . В последнее время сделана попытка вычислить зависимость  $\epsilon(N, K)$  с учетом крупномасштабных флуктуаций потенциала для двух предельных случаев — низких температур ( $kT$  мало по сравнению с шириной примесной зоны  $W = (e^2/\kappa)N^{1/3}$  [4]) и высоких температур ( $kT > W$ ) [5]. В последнем случае, который наиболее близок к условиям эксперимента, получено выражение

$$\Delta\epsilon = \epsilon - \epsilon_0 = -f(K) \frac{e^3 N_D^{1/2}}{\kappa^{3/2} (kT)^{1/2}}. \quad (2)$$

Оно справедливо при  $n < N_A$ ,  $N_D - N_A$  и при  $kT > \Delta\epsilon$ , т. е. для компенсированного полупроводника и для температур, достаточно больших, чтобы электроны перераспределялись по состояниям примесной зоны.

Таблица 1  
Параметры для образцов CdTe, легированных донорами

| № образца | $N_D \cdot 10^{-16}$ , см $^{-3}$ | $N_A \cdot 10^{-15}$ , см $^{-3}$ | $K$  | $\epsilon$ , мэВ | $f(K)$ |
|-----------|-----------------------------------|-----------------------------------|------|------------------|--------|
| 1         | 0.025                             | 0.020                             | 0.8  | 12               | 3.7    |
| 2         | 0.07                              | 0.025                             | 0.35 | 11               | 3.7    |
| 3         | 0.11                              | 0.06                              | 0.55 | 11               | 2.9    |
| 4         | 0.52                              | 0.17                              | 0.32 | 10               | 1.85   |
| 5         | 0.8                               | 0.75                              | 0.93 | 10               | 1.5    |
| 6         | 1.3                               | 1.27                              | 0.95 | 8                | 1.8    |
| 7         | 1.8                               | 0.92                              | 0.51 | 5                | 2.6    |
| 8         | 2.25                              | 1.75                              | 0.78 | 7                | 1.7    |
| 9         | 3.45                              | 2.8                               | 0.89 | 2.7              | 2.3    |
| 10        | 3.2                               | 3.1                               | 0.97 | 6                | 1.6    |

В настоящей работе мы проанализируем данные для кристаллов CdTe, полученные ранее в нашей работе [6] и в работах других авторов [7, 8]. Использовались образцы *n*-типа, специально не легированные, содержащие остаточные примеси; образцы *p*-типа легировались фосфором [8]. Для образцов *n*-типа  $\varepsilon$  вычислялась из температурной зависимости  $R$  в области 15–100 К (рис. 1,

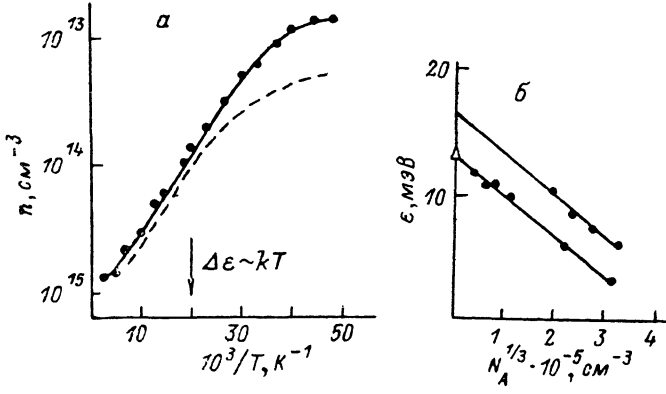


Рис. 1. Температурная зависимость  $n = (Re)^{-1}$  для образца 10 (табл. 1) (а) и влияние концентрации заряженных доноров ( $N_D^+ \approx N_A$ ) на  $\varepsilon$  в соответствии с формулой (1) (б).

Штриховая линия — зависимость  $n(1/T)$ , рассчитанная по формулам (2) и (3).

а). Для компенсированного полупроводника ( $n < N_A$ ,  $N_D - N_A$ ) зависимость  $n(1/T)$  описывается выражением

$$n = (Re)^{-1} = gN_c \frac{N_D - N_A}{N_A} \exp\left(-\frac{\varepsilon}{kT}\right), \quad (3)$$

$g=1/2$  для простых доноров в CdTe. При  $T=300$  К  $n \approx N_D - N_A$ , полученные таким образом значения  $N_A$ ,  $N_D$ ,  $K$ ,  $\varepsilon$  приведены в табл. 1. На рис. 1, б при-

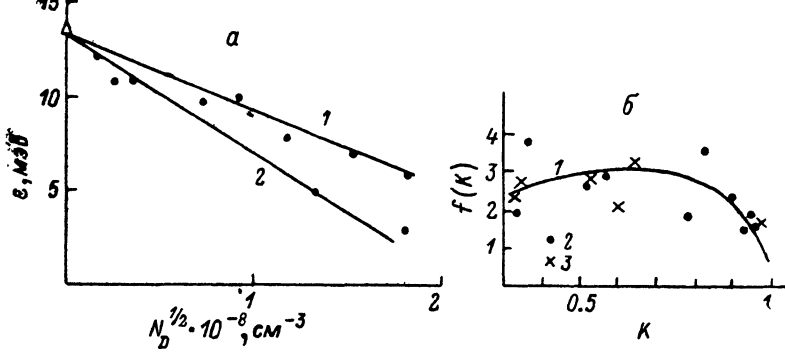


Рис. 2. Влияние общей концентрации доноров ( $N_D$ ) на  $\varepsilon$  в соответствии с формулой (2) (а) и зависимость  $f(K)$  (б).

а)  $T=50$  К;  $K$ : 1 — 0.95, 2 — 0.8; б) 1 — теория; эксперимент: 2 — для доноров, 3 — для акцепторов.

ведена зависимость  $\varepsilon(N_D^{1/2})$ . Видно, что она приводит к двум значениям  $\varepsilon_0$  — 14 и 17 мэВ: первое близко к данным оптическим измерений ( $\varepsilon_0$  для различных доноров меняется от 13.5 до 14.5 мэВ [9]), второе ( $\varepsilon_0=17$  мэВ) объяснялось наличием более глубокого донора [6]. Наклоны обеих прямых почти в 2 раза больше теоретических значений  $\alpha$  в выражении (1), полученных в [3, 4]. Указанные расхождения заставили нас проанализировать эти же эксперименты в рамках теории, развитой в работе [5]. Как можно видеть из выражения (2), в этом случае энергия ионизации  $\varepsilon$  меняется с температурой, т. е. зависимость  $n(1/T)$  не является строго экспоненциальной. На рис. 1, а проведена штрихо-

Таблица 2

Параметры для образцов CdTe,  
легированных акцепторами

| № образца | $N_A \cdot 10^{-16}$ ,<br>$\text{см}^{-3}$ | $N_D \cdot 10^{-16}$ ,<br>$\text{см}^{-3}$ | $K$  | $\epsilon$ , мэВ | $f(K)$ |
|-----------|--|--|------|------------------|--------|
| 1         | 14   | 9  | 0.65 | 52               | 3.3    |
| 2         | 25   | 15   | 0.6  | 55               | 2.0    |
| 3         | 34   | 18   | 0.53 | 47               | 2.8    |
| 4         | 47   | 15   | 0.32 | 47               | 2.4    |
| 5         | 61   | 60   | 0.98 | 50               | 1.7    |
| 6         | 100  | 35   | 0.35 | 34               | 2.6    |

вая кривая, рассчитанная по (2) с параметрами образца 10 (табл. 1). Видно, что в области больших  $\epsilon$  теоретическая кривая близка к эксперименту и описывается экспоненциальным законом; когда  $kT < \Delta\epsilon$ , наблюдается заметное отклонение от экспериментальной кривой, при этом выражение (2) перестает быть справедливым. Далее для всех образцов были построены зависимости  $\epsilon(N_D^{1/2})$  (рис. 2, а). Две прямые, проведенные на рисунке, рассчитаны по формуле (2) для  $K=0.95$  и 0.8,  $T=50$  К,  $\epsilon_0=13.5$  мэВ. Точки для образцов с близкими к указанным значениям  $K$  лежат на этих прямых, с промежуточными  $K$  — в промежутке между прямыми. На рис. 2, б приведен ход зависимости  $f(K)$  в выражении (2)  $f(K)=\sqrt{\pi}(K+3)\sqrt{K(1-K)}$  (кривая — теория, точки получены из экспериментальных значений  $\epsilon$ ). Видно, что по крайней мере в области больших  $K$  имеется хорошее совпадение теории и эксперимента. Расхождение, наблюдаемое для слабо легированных образцов, где  $\epsilon \sim \epsilon_0$ , может быть связано с тем, что энергия ионизации остаточных доноров в них отличается от выбранной средней величины 13.5 мэВ.

Анализ зависимости  $\epsilon(N)$  был также проведен для кристаллов, легированных акцепторами (фосфор) (для  $P_{\text{Te}}$   $\epsilon_0 \approx 68$  мэВ). Данные были взяты из работ [8] для образцов, в которых  $N_A \leq 10^{18}$  см<sup>-3</sup> (табл. 2). Измерения зависимости  $p(1/T)$  проводились при 100–300 К, необходимые параметры вычислялись по (3) для полупроводника  $p$ -типа ( $g=1/4$  для простых акцепторов в CdTe). Как можно видеть из рис. 2, для сравнимых значений  $N_D$  наблюдаются разные значения  $\epsilon$ , что трудно объяснить, пользуясь выражением (1). Поэтому были построены зависимости  $\epsilon$  от  $N_A^{1/2}$  и от  $K$ . Полученные значения  $f(K)$  приведены в табл. 2 и на рис. 2, б при 200 К. Согласие с теоретическим ходом зависимости  $f(K)$  можно считать удовлетворительным, несмотря на то что условие  $kT > \Delta\epsilon$  в нашем случае выполняется не строго ( $kT \geq \Delta\epsilon$ ).

Таким образом, анализ экспериментальных зависимостей  $\epsilon(N, K)$  показал, что ранее имевшиеся несоответствия с теорией, особенно в сильно компенсированных образцах, устраняются с помощью подхода, развитого в работе [5], учитывающего влияние случайного поля на термическую энергию ионизации.

Автор благодарит А. Л. Эфроса за полезное обсуждение работы.

## Литература

- [1] Woodbury H. H., Aven M. — Phys. Rev. B, 1974, v. 9, N 12, p. 5195–5202.
- [2] Debye P. P., Conwell E. M. — Phys. Rev., 1954, v. 93, N 2, p. 693–697.
- [3] Monecke J., Siegel W., Ziegler E., Kühnel G. — Phys. St. Sol. (b), 1981, v. 103, N 1, p. 269–279.
- [4] Нгуен Ван Лиен, Шкловский Б. И. — ФТП, 1979, т. 13, в. 9, с. 1763–1769.
- [5] Узаков А. А., Эфрос А. Л. — ФТП, 1987, т. 21, в. 5, с. 922–926.
- [6] Агринская Н. В., Аркадьева Е. Н., Матвеев О. А. — ФТП, 1971, т. 5, в. 5, с. 863–866.
- [7] Segall B., Lorenz M. R., Halsted R. E. — Phys. Rev., 1963, v. 129, N 12, p. 2471–2475.
- [8] Gu J., Kitahara T., Kawakami K. J. — Appl. Phys., 1975, v. 46, N 3, p. 1184–1185; Аркадьева Е. Н., Матвеев О. А., Рудь Ю. В. — ФТТ, 1966, т. 8, в. 10, с. 2821–2822.
- [9] Francou J. M., Seminadyar S., Molva E., Pautrat J. I. — In: 13 Int. Conf. Def. Semicond. Coronado, 1984, p. 1213–1219.